

测定 J/ψ 辐射衰变产物自旋宇称 方法的灵敏区研究

严 武 光

(中国科学院高能物理研究所,北京)

摘 要

当 J/ψ 辐射衰变产物 X 是两个赝标介子的束缚态时,螺旋性振幅理论给出了它的角分布 W_J . 我们注意到,用这个角分布来确定 X 的自旋宇称存在着不灵敏区. 本文对不灵敏区问题作了进一步研究. 结果表明: 1) 确实存在着不灵敏区; 2) $\theta(1720)$ 的自旋宇称是 2^{++} 还是 0^{++} 尚不能最后肯定; 3) 窄峰 $\xi(2230)$ 如果存在的话,可以排除其自旋宇称是 0^{++} 的可能性.

文献[1—3]介绍了当 J/ψ 辐射衰变产物 X 是两个赝标介子的束缚态时,利用产生角和衰变角的角分布来测定自旋宇称的实验方法. 文献[1]还指出,在某些情况下这个方法并不能区分自旋宇称为 0^{++} , 2^{++} 和 4^{++} 的不同假设. 例如一组自旋宇称为 2^{++} 和参量值为 1 的 100 个蒙特卡罗事例,分析结果是 2^{++} 和 4^{++} 分不清. $DM2^{[4]}$ 的数据对 $\theta(1720)$ 的自旋是 2^{++} 还是 0^{++} 也分不开. 为此本文对这个方法的灵敏区问题作进一步的研究,是文献[1]的继续.

一、不同自旋宇称的角分布

当 J/ψ 的辐射衰变产物 X 是两个赝标介子的束缚态时,它的电荷共轭宇称 C 和宇称 P 都必须为正,自旋只能是偶数,即 $J^{PC} = 0^{++}, 2^{++}, 4^{++}, \dots$. 对于三个最低自旋态的角分布,等效作用计算^[2]和螺旋性振幅计算给出了类似的结果. 为方便起见,我们采用了后者^[3].

$$\frac{dN}{d\Omega} = \frac{N}{N_J(C)} W_{J(\Omega, C)} \quad (1)$$

$$N_J(C) = \int W_{J(\Omega, C)} d\Omega \quad (2)$$

式中 $W_{J(\Omega, C)}$ 是自旋宇称为 J^{PC} 的衰变产物 X 的角分布, $N_J(C)$ 是归一化因子, N 是总计数. Ω 是空间角. C 是一组四个参量,它们的物理意义是相对的螺旋性振幅和位相(前者较为重要,后者可以忽略).

为了对实验数据和理论预言的角分布进行比较,可以不断改变理论预言角分布中的参量 C ,找到 $C = C_0$ 时两者最为接近. 对于几个不同自旋宇称的假设,再比较哪个拟合得最好. C 的可调性,也给自旋宇称的确定带来一些麻烦,在 C 取某值时自旋宇称的角分布有可能和 C 取另一些值时很相近似而分不清,这就是不灵敏区的实质.

二、不灵敏区范围的 χ^2 检验

为了检验自旋宇称为 0^{++} , 2^{++} 或 4^{++} 的角分布在哪些范围内不能互相区分,我们按下式定义了 χ^2 检验:

$$\chi^2 = \frac{1}{(n-4)} \sum_{i=1}^n \frac{[N_i - F_{ii}]^2}{N_i} \quad (3)$$

$$N_i = \frac{N}{N_{SP}(D)} \int_{\Omega_i} W_{SP}(\Omega, D) d\Omega \quad (4)$$

$$F_{ii} = \frac{N}{N_J(C)} \int_{\Omega_i} W_J(\Omega, C) d\Omega \quad (5)$$

基本想法是对一个已知自旋宇称 SP 和参量 D 的角分布 $W_{SP}(\Omega, D)$ 用另一个不同自旋宇称 J 和参量 C 的角分布 $W_J(\Omega, C)$ 去拟合. 为此目的,把空间角 Ω 分割成若干 $\Omega_i (i=1, 2, \dots, n)$. $N_i = N_i(N, SP, D)$ 的物理意义是一组已知自旋宇称为 SP , 螺旋性振幅为 D 的束缚态的 N 个事例在 Ω_i 空间内出现的事例数. $F_{ii} = F_{ii}(N, J, C)$ 的物理意义则是假设束缚态的自旋宇称为 J , 螺旋性振幅为 C 和总事例数为 N 时,在 Ω_i 内的预期事例数. 分割 Ω_i 时要求 $N_i \geq 6$, 计算出相应的 N_i 和 F_{ii} . 很明显, $\chi^2 = \chi^2(N, SP, D, J, C)$. 当 SP, D 和 N 被确定以后,对某假设的 J 值, $\chi^2 = \chi^2(C)$. 拟合意味着改变 C , 找到 $\chi_{\min}^2 = \chi^2(C_0)$. 当 $\chi_{\min}^2 < 1.0$ 时,说明 $W_{SP}(\Omega, D)$ 和 $W_J(\Omega, C_0)$ 很接近,无法区分. $\chi_{\min}^2 > 1.0$ 时, SP 和 J 不会被混淆, χ_{\min}^2 越大,两者越易区分.

(1) 式给出的角分布有以下特点: A) 沿 $\cos\theta$ (衰变角) 方向有较多的起伏, 并和自旋宇称关系密切, 而受 4π 型探测器结构和性能的影响较均匀, 因此给出最主要的信息; B) 沿产生角 $\cos\theta_r$ 方向的投影为 $1 + A\cos^2\theta_r$, 不同自旋宇称和螺旋性振幅给出不同的 A 值, 但差别不大; C) 沿衰变面和产生面之间的夹角 φ 方向的起伏主要是由探测器结构引起的, 与自旋宇称关系不大, 可以忽略. 鉴于以上情况, 在计算 N_i 和 F_{ii} 时, 先把 Ω 沿 $|\cos\theta_r|$ 方向划成四等分条, 再沿 $|\cos\theta|$ 方向切成 40 个等分小块, 然后沿 $|\cos\theta|$ 方向逐步合并成一些大块, 使得在每个 Ω_i 内 $N_i \geq 6.0$. 沿 φ 方向的信息没有利用.

对每一组给定的 N, SP 和 J , 令 $D_3 = D_4 = 0.0$, 取 D_1, D_2 的一对值, 算出 N_i 和 $F_{ii}(C)$, 然后再变化 C 去拟合 χ^2 , 求得 χ_{\min}^2 . 顺序在 $+4.0$ 到 -4.0 范围内改变 D_1, D_2 值, 得到相应的 $\chi_{\min}^2(D_1, D_2)$ 分布, 在图 1-4 上用等高线标出. 图 1-4 每图包括四个小图 a), b), c) 和 d), 分别对应于 $N = 100, 240, 480$ 和 1000 . 纵轴是 D_1 , 横轴是 D_2 . 等高线上的数字表明 χ_{\min}^2 值. 斜线区域代表 $\chi_{\min}^2 < 1.0$, 也就是不灵敏区. 在这个区域内 SP 和 J 分不开. $\chi_{\min}^2 > 1.0$ 越大, 则 SP 和 J 越不易混淆.

在(3)式中, N_i 和 F_{ii} 都和 N 成正比. n 也随 N 的增大而增大, 但要缓慢得多. 由

此可见, χ_{\min}^2 随着 N 的增大而上升, 因而 $\chi_{\min}^2 < 1.0$ 的不灵敏区逐渐减小而灵敏度增强, 这点在图 1—4 中可以清楚地看到。

三、结果和讨论

1) 对 $SP = 0^{++}$ 的角分布 W_0 用 $J = 2^{++}$ 或 4^{++} 去拟合, 结果列于表 1。显然, 即使事例数大到 $N = 1000$ 和 2000 时, 还无法把 0^{++} 和 2^{++} 的 $C_1 \approx 1.0, C_2 \approx 1.6, C_3 \approx C_4 \approx 0, \pi, 2\pi$ 的情况区分开。对 $SP = 0^{++}$ 和 $J = 4^{++}$ 的区分要容易得多, 到 $N \geq 240$ 以后完全可以分开。

2) 对 $SP = 2^{++}$ 或 4^{++} 的角分布 W_2 或 W_4 用 $J = 0^{++}$ 的 W_0 去计算 χ^2 , 得到的等高线分别画在图 1, 图 2 上。从图 1 可以看到, 对 $SP = 2^{++}, J = 0^{++}$, 在 $|D_1| \approx |D_2| > 1.0$ 的对角线附近有 $\chi^2 < 1.0$ 的不灵敏区低谷, 随着 N 的增大, 这个不灵敏区在减小。谷底最佳处在 $|D_1| \approx 1.0, |D_2| \approx 1.6$ 处, 与表 1 一致。图 2 表明, 对 $SP = 4^{++}, J = 0^{++}$ 的情况要好得多, 当 $N \approx 100$ 时虽有一个不大的不灵敏区, 但统计提高以后就不成问题了。

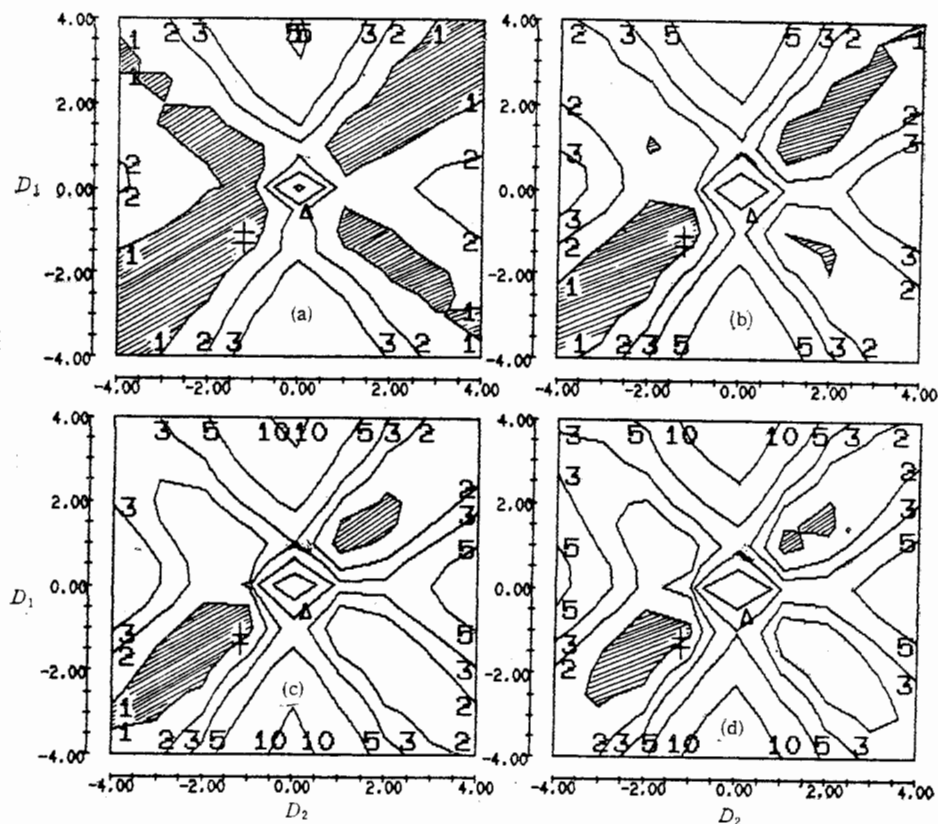


图 1 自旋为 2^{++} 的角分布 W_2 被自旋是 0^{++} 的角分布 W_0 拟合的结果 $\chi_{\min}^2(D_1, D_2)$

表1 用 $J=2^{++}$ 或 4^{++} 的角分布 W_2 或 W_4 去拟合
 $SP=0^{++}$ 的 W_0 的结果

| J | N | n | χ^2_{\min} | C_1 | C_2 |
|----------|------|-----|-----------------|-------|-------|
| 2^{++} | 100 | 10 | 0.298 | 1.03 | 1.53 |
| | 240 | 26 | 0.232 | 0.97 | 1.62 |
| | 480 | 48 | 0.237 | 1.06 | 1.62 |
| | 1000 | 88 | 0.263 | 1.06 | 1.63 |
| | 2000 | 160 | 0.493 | 0.99 | 1.57 |
| 4^{++} | 100 | 10 | 0.68 | 1.47 | 3.29 |
| | 240 | 26 | 1.36 | -1.32 | 1.93 |
| | 480 | 48 | 2.43 | -2.24 | 2.75 |
| | 1000 | 88 | 3.69 | -2.25 | 2.76 |

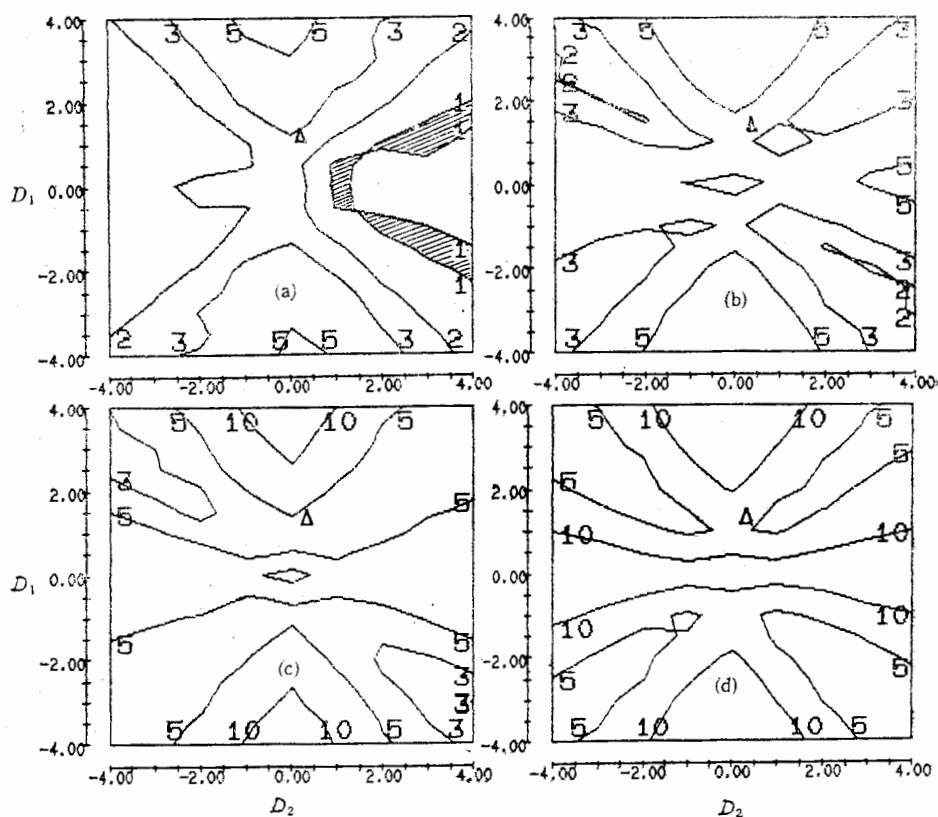


图2 自旋为 4^{++} 的角分布 W_4 被自旋是 0^{++} 的角分布 W_0 拟合的结果 $\chi^2_{\min}(D_1, D_2)$

3) 对 $SP=2^{++}$ 的 W_2 用 $J=4^{++}$ 的 W_4 去拟合, 结果如图3所示. $SP=4^{++}$, $J=2^{++}$ 的结果见图4. 从图3可以看到, 在 $|D_1| \approx 1, |D_2| \approx 0$ 的附近有两片不灵敏区, 在图4上, 不灵敏区则分布在 $|D_1| \approx |D_2| > 1.0$ 的四个端角.

4) 由图1-4 可以看到, 在无论哪种情况下, $|D_1| \approx 0, |D_2| \approx 0$ 附近都是很好的

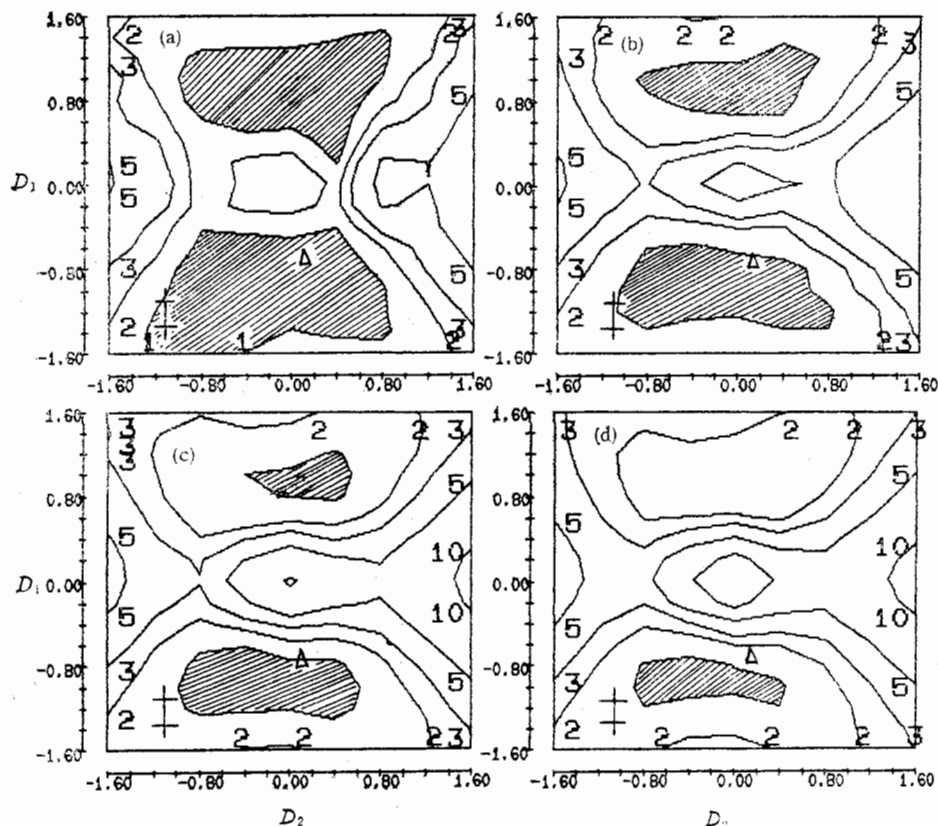


图3 自旋为 2^{++} 的角分布 W_2 被自旋是 4^{++} 的角分布 W_4 拟合的结果 $\chi^2_{\min}(D_1, D_2)$

灵敏区,也就是说,当 J/ψ 辐射衰变产物是横向极化的时候,这个方法特别灵敏。

5) $\theta(1720)$ 是目前被视为胶球的主要候选者之一, 它的自旋宇称就是用这个方法确定的,公认为 2^{++} ^[4,5]。[4,5]两个早期的工作因统计少而不被引用,何况工作[4]没有能把 $f_2(1525)$ 和 $\theta(1720)$ 分开,可能还包含了 $G(1590)$ 。工作[3]对 $J/\psi \rightarrow \gamma\theta(1720) \rightarrow \gamma K^+ K^-$ 过程的 $N = 239$ 个事例作了分析和拟合,测定 $\theta(1720)$ 的自旋宇称是 2^{++} , 螺旋性振幅 $C_1 = -1.07 \pm 0.16$; $C_2 = -1.09 \pm 0.15$ 。工作[6]对同一过程的 $N = 10$ 个事例测量了自旋宇称,结论是 2^{++} 和 0^{++} 分不开。但鉴于在 $\cos\theta$ 方向角分布的投影接近 2^{++} 而倾向于 2^{++} (相应的 $C_1 = -1.3 \pm 0.14$; $C_2 = -1.1 \pm 0.18$), 不巧它们都落入了 2^{++} 和 0^{++} 不可分辨的区域(见图1中的“+”)。在图3(a)上,“+”虽落在不灵敏区,但在图3(b),3(c)上总算已经在 2^{++} 和 4^{++} 可以分辨的区域。因此 $\theta(1720)$ 的自旋宇称是 2^{++} , 还是 0^{++} 仍不能作最后的肯定,何况 $f_2(1525)$ 和 $G(1590)$ 给 $\theta(1720)$ 带来的本底还会使问题更加复杂。

6) $\xi(2230)$ 是工作^[3]在研究 $J/\psi \rightarrow \gamma\xi \rightarrow \gamma K^+ K^-$, $\gamma K_s^0 K_s^0$ 两个过程中观察到的窄峰很难用一般 $(q\bar{q})$ 来解释,总事例数 $N = 93$, 没能准确定出自旋宇称,但给出了两个可能性: 2^{++} , $C_1 = -0.67$, $C_2 = 0.13$ 或 4^{++} , $C_1 = 1.29$, $C_2 = 0.4$ (见图1—4上的

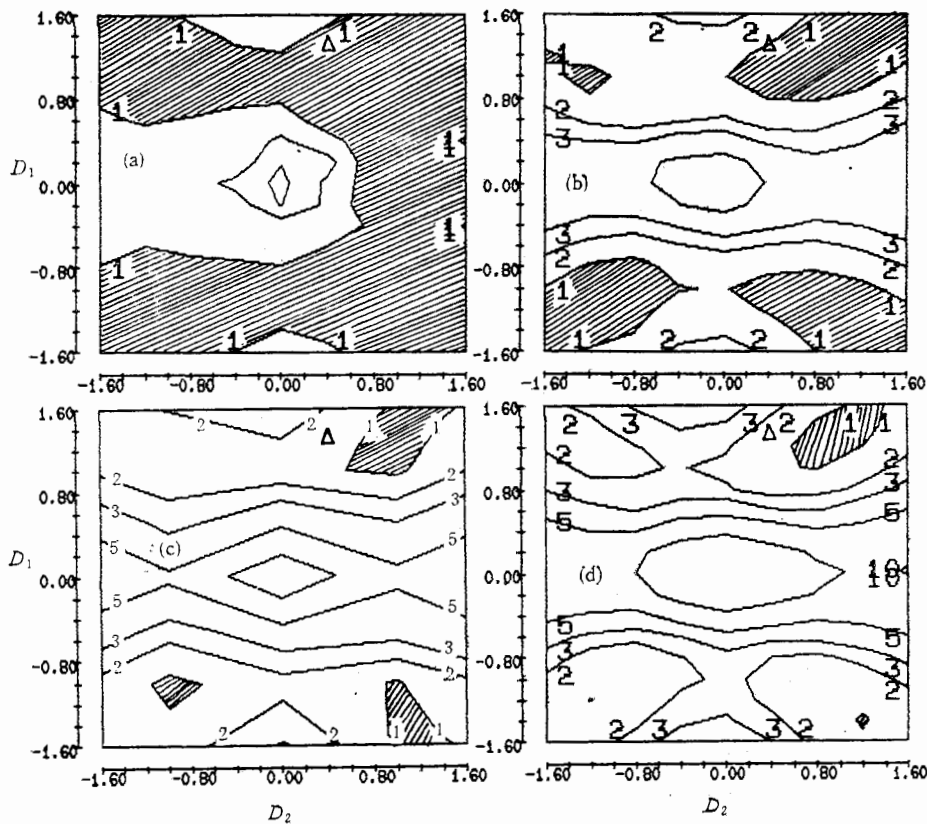


图4 自旋为 4^{++} 的角分布 W_4 被自旋是 2^{++} 的角分布 W_2
拟合的结果 $\chi^2_{\min}(D_1, D_2)$

“ Δ ”)。在图1和图2上,“ Δ ”落在灵敏区, $\xi(2230)$ 的自旋宇称不可能是 0^{++} , 因此假如 $\xi(2230)$ 存在的话,它不可能是 Higgs 粒子。在图3(a)、4(a)上,“ Δ ”落在 2^{++} 和 4^{++} 分不开的区域,但在图3(c)、4(c)上已进入了可分辨区。这说明,需要有500个 $\xi(2230)$ 的事例才能最后确定 $\xi(2230)$ 的自旋和宇称。

参 考 文 献

- [1] T. Z. RUAN, et al., Proceedings of the BIMP Symposium on Heavy Flavor Physics, p. 410—418, Aug. 11, 1988, Beijing; T. Z. RUAN, et al., to be published in High Energy Physics and Nuclear Physics.
- [2] 赵佩英等,物理学报,26(1977),16;
C. S. GAO, et al., Proceedings of the Workshop on Colliding Beam Physics, p. 243, June, 1984, Beijing.
- [3] M. JACOB and G. C. WICK, *Ann. Phys.*, (NY) 7(1959), 404;
K. F. EINSWEILER, SLAC Report 272(1984);
R. M. BALTRUSAITIS et al., *Phys. Rev.*, D 35(1987), 2077.
- [4] C. EDWARDS et al., *Phys. Rev. Lett.*, 48(1982), 458;
C. EDWARDS et al., *Phys. Rev.*, D25(1982), 3065.
- [5] M. E. B. FRANKLIN, SLAC Report 254(1982).
- [6] J. E. AUGUSTIN et al., Orsay preprint, LAL/85—27(1985);
J. E. AUGUSTIN et al., *Phys. Rev. Lett.*, 60(1988), 2238.

ON THE SENSITIVE AREA OF SPIN-PARITY ANALYSIS FOR J/ψ RADIATIVE DECAY PRODUCTS INTO TWO PSEUDOSCALARS

YAN WUGUANG

(Institute of High Energy Physics, Academia Sinica)

ABSTRACT

The spin-parity analysis of the J/ψ radiative decay products into two pseudoscalars usually uses the angular distribution calculated by the helicity amplitude formalism. This paper investigated the sensitivity of this method and pointed out the followings: 1). there really exists some insensitive area; 2). unfortunately, $\theta(1720)$ falls into the insensitive area of $2^{++}-0^{++}$ distinction; so the spin of $\theta(1720)$ has not been finally established yet; 3). according to the Mark-3 data, for the newly observed very narrow peak $\xi(2230)$, the spin 0^{++} assignment can be ruled out.